

**МЕХАНИКА
ТВЕРДОГО ТЕЛА**
№ 1 · 1977

УДК 534.1

**ОБ АВТОКОЛЕБАТЕЛЬНОЙ СИСТЕМЕ,
ВЗАИМОДЕЙСТВУЮЩЕЙ С ИСТОЧНИКОМ ЭНЕРГИИ**

А. А. АЛИФОВ

(*Москва*)

В работе [1] получены фундаментальные представления о взаимодействии автоколебательной системы и источника энергии. Дальнейшее развитие этих задач получено в [2, 3]. В данной работе рассматривается взаимодействие источника энергии с автоколебательной системой с одной, двумя и n степенями свободы в предположении, что система содержит демпферы сухого трения.

1. Рассмотрим механическую модель автоколебательной системы с n массами $m_1 \dots m_n$, n -я масса которой лежит на непрерывной ленте, движущейся со скоростью $V = r\phi$ (ϕ — угол вращения ротора двигателя, r — радиус шкива, приводящего в движение ленту) (фиг. 1), полагая, что она получает энергию от реального источника — двигателя с известной заранее характеристикой $L(\phi)$. Система содержит демпферы сухого трения с коэффициентами трения $\vartheta_1 \dots \vartheta_n$, а также линейные демпферы с коэффициентами демпфирования $k_1 \dots k_n$.

Сила трения T , возникающая между массой m_n и лентой, является функцией относительной скорости $V - x_n$ и аппроксимируется [4] функцией

$$T\{(V - x_n)\} = q[\operatorname{sgn}(V - x_n) - \alpha_1(V - x_n) + \alpha_3(V - x_n)^3]$$

график которой показан на фиг. 2. Здесь q , α_1 , α_3 — положительные постоянные; множитель q пропорционален силе нормального давления массы на ленту, который в данном случае равен $q = m_n g f$, где f — коэффициент сухого трения, g — ускорение силы тяжести.

Задача рассматривается при условии $V > x_n$, $V > 0$.

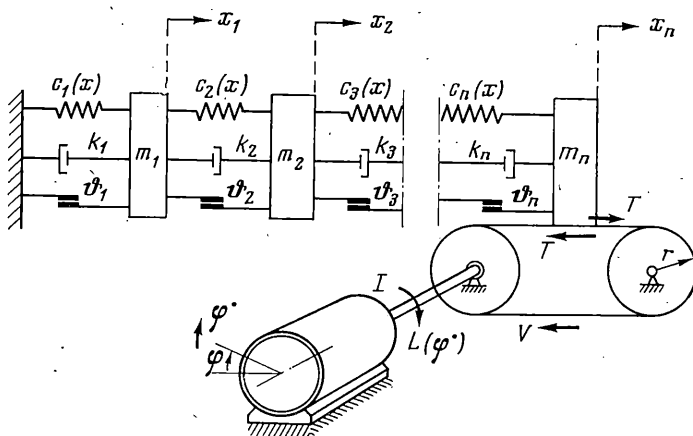
Следует отметить, что такая механическая модель наиболее полно характеризует реальные объекты: ленточные конвейеры, процесс обработки металлов резанием и др.

Движение автоколебательной системы с одной степенью свободы описывается уравнениями

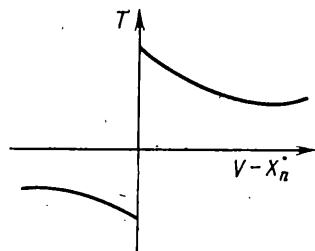
$$\begin{aligned} m_1 x_1'' + c_1 x_1 = & T\{(V - x_1)\} - f(x_1) - k_1 x_1 - \vartheta_1 \frac{x_1}{|x_1|} \\ I\phi'' = & L(\phi) - H_0(\phi) - rT\{(V - x_1)\} \end{aligned} \quad (1.1)$$

Здесь c_1 — жесткость колебательной системы; $f(x_1)$ — функция, описывающая отклонения восстанавливающей силы от линейного закона; I — суммарный момент инерции вращающихся частей; $L(\phi)$, $H_0(\phi)$ — непрерывные, медленно изменяющиеся функции, которые описывают движущий момент источника и момент сил сопротивления вращению, приведенные к оси вращения ротора, соответственно.

Решение задачи ищется в предположениях, принятых в работе [1], кроме того, величины ϑ_1 , k_1 и функция $f(x_1)$ — малые, вследствие чего в систему (1.1) можно ввести малый положительный параметр ε .



Фиг. 1



Фиг. 2

Уравнения (1.1) после введения малого параметра принимают вид

$$x_1'' + \omega_1^2 x_1 = \frac{\varepsilon}{m_1} \left[T\{(V-x_1)\} - f(x_1) - k_1 x_1 - \vartheta_1 \frac{x_1}{|x_1|} \right] \quad (1.2)$$

$$\varphi'' = \frac{\varepsilon}{I} [M(\varphi) - rT\{(V-x_1)\}], \quad \omega_1^2 = \frac{c_1}{m_1}, \quad M(\varphi) = L(\varphi) - H_0(\varphi)$$

Согласно методу теории возмущений [5], система (1.2) после приведения к стандартной форме и выполнения операции усреднения принимает вид

$$\frac{du}{dt} = \frac{\varepsilon r}{I} \left[M\left(\frac{u}{r}\right) - rT(u) - \frac{3}{2} rq\alpha_3 u A_1^2 \right] \quad (1.3)$$

$$\frac{dA_1}{dt} = -\frac{\varepsilon}{2m_1} \left[\frac{4}{\pi} \vartheta_1 + (3\alpha_3 qu^2 - \alpha_1 q + k_1) A_1 + \frac{3}{4} \alpha_3 q A_1^3 \right]$$

$$\frac{d\xi}{dt} = \omega_1 - p + \frac{\varepsilon}{2\pi m_1 A_1} \int_0^{2\pi} f\left(\frac{A_1}{\omega_1} \cos \psi\right) \cos \psi d\psi, \quad u = \Omega r, \quad A_1 = \omega_1 a$$

Здесь величины Ω , a , ξ составляют главную часть решения, и слагаемое $4\vartheta_1/\pi$ определено в предположении, что $A_1 > 0$. Стационарные режи-

мы движения определяются из (1.3)

$$\begin{aligned} M(u/r) - rT(u) - {}^3/{}_2rq\alpha_3uA_1^2 &= 0 \\ 4\vartheta_1/\pi + (3\alpha_3qu^2 - \alpha_1q + k_1)A_1 + {}^3/{}_4\alpha_3qA_1^3 &= 0 \\ \omega_1 - p + \frac{1}{2\pi m_1 A_1} \int_0^{2\pi} f\left(\frac{A_1}{\omega_1} \cos \psi\right) \cos \psi d\psi &= 0 \end{aligned} \quad (1.4)$$

Из последнего уравнения (1.4) определяем частоту колебания

$$p = \omega_1 + \frac{1}{2\pi m_1 A_1} \int_0^{2\pi} f\left(\frac{A_1}{\omega_1} \cos \psi\right) \cos \psi d\psi \quad (1.5)$$

откуда видно влияние нелинейной части восстанавливающей силы на частоту автоколебаний.

Действительный корень второго уравнения системы (1.4) согласно формуле Кардана имеет вид

$$\begin{aligned} A_1 = & \left\{ -\frac{8\vartheta_1}{3\pi\alpha_3q} + \left[\left(\frac{8\vartheta_1}{3\pi\alpha_3q} \right)^2 + \left[\frac{4}{9\alpha_3q} (3\alpha_3qu^2 - \alpha_1q + k_1) \right]^3 \right]^{1/2} \right\}^{1/3} + \\ & + \left\{ -\frac{8\vartheta_1}{3\pi\alpha_3q} - \left[\left(\frac{8\vartheta_1}{3\pi\alpha_3q} \right)^2 + \left[\frac{4}{9\alpha_3q} (3\alpha_3qu^2 - \alpha_1q + k_1) \right]^3 \right]^{1/2} \right\}^{1/3} \end{aligned} \quad (1.6)$$

При определении $4\vartheta_1/\pi$ принято, что $A_1 > 0$, поэтому из выражения (1.6) находятся те значения амплитуды автоколебаний, которые подчиняются этому условию.

Анализ уравнения (1.6) показывает, что при $\vartheta_1 \neq 0$ может быть либо одно решение (два совпадших корня), либо два решения. Значение скорости u_* , соответствующее однозначному решению, определяется из выражения

$$u_*^2 = \frac{1}{3\alpha_3q} (\alpha_1q - k_1) - \frac{\eta}{4}, \quad \eta = 3 \sqrt[3]{\frac{64\vartheta_1^2}{(3\alpha_3q\pi)^2}} \quad (1.7)$$

При $u=u_*$ амплитуда автоколебаний определяется из выражения $A_1^* = (\eta/3)^{1/2}$. Из первых двух уравнений (1.4) после исключения A_1 получим уравнение для определения стационарных значений скорости

$$(R^3 - 4r^2u^2R\Phi^2)^2 - \beta u^3(R^3 + 4r^2u^2R\Phi^2 - {}^1/{}_4\beta u^3) = 0 \quad (1.8)$$

$$R = M(u/r) - rT(u), \quad \beta = 192\alpha_3q\vartheta_1^2r^3\pi^{-2}, \quad \Phi = q(\alpha_1 - 3\alpha_3u^2) - k_1$$

Как видно, автоколебания возможны лишь при некоторых значениях скорости u , удовлетворяющих уравнению (1.8). Такие значения скорости зависят от амплитуды автоколебаний, характеристики источника энергии, демпфирующих элементов.

Два последних уравнения (1.4) и (1.8) показывают также существенное влияние демпфера с сухим трением на амплитуду и частоту автоколебаний и стационарные значения скорости и дают возможность выбирать параметры реальных объектов при проектировании.

Анализ устойчивости приближенных решений системы (1.1) сводим к анализу устойчивости стационарных значений первых двух уравнений (1.3). Пользуясь критериями Рауса — Гурвица, получим следующие критерии устойчивости движения:

$$\begin{aligned} N - rq(3\alpha_3u^2 - \alpha_1 + {}^3/{}_2\alpha_3A_1^2) - {}^1/{}_2I(m_1r)^{-1}F &< 0 \\ F[N - rq(3\alpha_3u^2 - \alpha_1 + {}^3/{}_2\alpha_3A_1^2) + 18r(\alpha_3quA_1)^2F^{-1}] &< 0 \end{aligned} \quad (1.9)$$

$$N = \frac{d}{du} M\left(\frac{u}{r}\right) = L' - H_0', \quad F = k_1 + q\left(3\alpha_3 u^2 - \alpha_1 + \frac{9}{4}\alpha_3 A_1^2\right)$$

Для многих реальных источников $L' < 0$. Если считать, что $L > H_0$, то $N < 0$ и поэтому первое условие (1.9) легко выполняется, если $3\alpha_3 u^2 - \alpha_1 > 0$ и, следовательно, $F > 0$. Определяющим является второе условие (1.9). Так как $F > 0$, то характеристика источника энергии должна быть достаточно крутой, чтобы выполнялось второе неравенство (1.9) и тем самым устойчивость автоколебательного режима. В противном случае колебательный процесс будет неустойчивым, следовательно, надлежащим подбором характеристики двигателя предоставляется возможность устранения нежелательных автоколебаний при сухом трении и наоборот.

Следует отметить, что на основании анализа получены следующие выводы: состояние системы, соответствующее значению скорости u_* , неустойчиво; по мере возрастания стационарных значений скорости области наклонов характеристики двигателя, соответствующие устойчивым движениям, уменьшаются; демпфер сухого трения сужает эти области.

Приближенное решение для угловой скорости ротора двигателя при улучшенном первом приближении имеет вид

$$\dot{\varphi} = \Omega - \frac{r}{I_p} \left[\left(k_1 \omega_1 a + \frac{4\theta_1}{\pi} \right) \cos(pt + \xi) - \frac{3}{4} \alpha_3 qr \Omega \omega_1^2 a^2 \sin 2(pt + \xi) + \frac{1}{12} \alpha_3 q \omega_1^3 a^3 \cos 3(pt + \xi) \right] \quad (1.10)$$

откуда видно обратное воздействие колебательной системы на источник энергии. В результате этого в выражении для определения скорости вращения появляются гармоники с кратными частотами. Кратные частоты имеют место и в выражениях для амплитуды и фазы автоколебаний, которые для кратности здесь не приводятся.

2. Уравнения движения автоколебательной системы с двумя степенями свободы записываются в виде

$$m_1 \ddot{x}_1 + c_1 x_1 - c_2(x_2 - x_1) = f(x_2 - x_1) - f(x_1) + k_2(x_2 - x_1) - k_4 x_1 + \theta_2 \frac{x_2 - x_1}{|x_2 - x_1|} - \theta_1 \frac{x_1}{|x_1|} \quad (2.1)$$

$$m_2 \ddot{x}_2 + c_2(x_2 - x_1) = T\{(V - x_2)\} - f(x_2 - x_1) - k_2(x_2 - x_1) - \theta_2 \frac{x_2 - x_1}{|x_2 - x_1|}$$

$$I\ddot{\varphi} = L(\dot{\varphi}) - H_0(\varphi) - rT\{(V - x_2)\}$$

где функция $f(x_2 - x_1)$ описывает малые отклонения восстанавливающей силы от линейного закона.

Принимая такие же предположения, как в п. 1, в систему (2.1) вводим малый параметр ε , и первые два уравнения системы (2.1) при помощи переменных

$$x_1 = y_1 + y_2, \quad x_2 = \mu_1 y_1 + \mu_2 y_2 \quad (2.2)$$

представляем в виде

$$y_1'' + \omega_1^2 y_1 = \varepsilon M_1^{-1}(Q_1 + \mu_1 Q_2), \quad y_2'' + \omega_2^2 y_2 = \varepsilon M_2^{-1}(Q_1 + \mu_2 Q_2) \quad (2.3)$$

$$\mu_1 = (c_{12} - m_1 \omega_1^2) c_2^{-1}, \quad \mu_2 = (c_{12} - m_1 \omega_2^2) c_2^{-1}, \quad c_{12} = c_1 + c_2,$$

$$M_1 = m_1 + m_2 \mu_1^2, \quad M_2 = m_1 + m_2 \mu_2^2$$

Здесь Q_1 и Q_2 — правые части первых двух уравнений системы (2.1) с учетом замены (2.2); ω_1 и ω_2 — частоты собственных колебаний системы, определяемые из уравнения

$$(m_1 \omega^2 - c_{12})(m_2 \omega^2 - c_2) - c_2^2 = 0 \quad (2.4)$$

Предполагая, что в системе существует одночастотный режим (с одной нормальной формой), а также, что величины $v\omega_1, v\omega_2$ ($v=2, 3, \dots$) уравнению (2.4) не удовлетворяют, следуя п.1, получим следующие уравнения для стационарных режимов движения (для первой нормальной формы):

$$\begin{aligned} M(u_1/r) - rT(u_1) - {}^3/{}_2 r\alpha_3 q u_1 \mu_1^2 A_{11}^2 &= 0 \\ L_1 + (3\alpha_3 q \mu_1^2 u_1^2 - \alpha_1 q \mu_1^2 + D_1) A_{11} + {}^3/{}_4 \alpha_3 q \mu_1^4 A_{11}^3 &= 0 \\ \omega_1 - p_1 + (M_1 A_{11})^{-1} G_1 &= 0, \quad L_1 = 4(\theta_1 + \theta_2 |\mu_1 - 1|) / \pi, \quad D_1 = k_1 + k_2 (\mu_1 - 1)^2 \\ G_1 &= \frac{1}{2\pi} \int_0^{2\pi} \left\{ f \left(\frac{A_{11}}{\omega_1} \cos \psi \right) + (\mu_1 - 1) f \left[(\mu_1 - 1) \frac{A_{11}}{\omega_1} \cos \psi \right] \right\} \cos \psi d\psi \end{aligned} \quad (2.5)$$

Здесь L_1 определено в предположении, что $A_{11} > 0$. Из системы (2.5) имеем уравнения для определения частоты автоколебаний и стационарных значений скорости

$$\begin{aligned} p_1 &= \omega_1 + (M_1 A_{11})^{-1} G_1 \\ (R_1^3 - 4r^2 \mu_1^{-4} u_1^2 R_1 \Phi_1^2)^2 - \beta_1 u_1^3 (R_1^3 + 4r^2 \mu_1^{-4} u_1^2 R_1 \Phi_1^2 - {}^1/{}_4 \beta_1 u_1^3) &= 0 \\ R_1 &= M(u_1/r) - rT(u_1), \quad \Phi_1 = q \mu_1^2 (\alpha_1 - 3\alpha_3 u_1^2) - D_1, \quad \beta_1 = 12\alpha_3 q L_1^2 r^3 \mu_1^{-2} \end{aligned} \quad (2.6)$$

Решая второе уравнение системы (2.5) подобно решению второго уравнения системы (1.4), находим искомые значения амплитуды автоколебаний — A_{11} .

Критерии устойчивости имеют вид

$$\begin{aligned} N_1 - rq (3\alpha_3 u_1^2 - \alpha_1 + {}^3/{}_2 \alpha_3 \mu_1^2 A_{11}^2) - {}^1/{}_2 (M_1 r)^{-1} I F_1 &< 0 \\ F_1 [N_1 - rq (3\alpha_3 u_1^2 - \alpha_1 + {}^3/{}_2 \alpha_3 \mu_1^2 A_{11}^2) + 18r (\mu_1^2 \alpha_3 q u_1 A_{11})^2 F_1^{-1}] &< 0 \\ N_1 &= \frac{d}{du_1} M \left(\frac{u}{r} \right), \quad F_1 = D_1 + q \mu_1^2 \left(3\alpha_3 u_1^2 - \alpha_1 + \frac{9}{4} \alpha_3 \mu_1^2 A_{11}^2 \right) \end{aligned} \quad (2.7)$$

Улучшенное первое приближение для φ имеет вид

$$\begin{aligned} \varphi &= \Omega - r(I p_1)^{-1} [\mu_1^{-1} (L_1 + D_1 A_{11}) \cos(p_1 t + \xi_1) - \\ &- {}^3/{}_4 \alpha_3 q r \Omega \mu_1^2 \omega_1^2 a_1^2 \sin 2(p_1 t + \xi_1) + {}^1/{}_2 \alpha_3 q \mu_1^3 \omega_1^3 a_1^3 \cos 3(p_1 t + \xi_1)] \end{aligned} \quad (2.8)$$

Аналогичные выражения получаются для второй нормальной формы, которые здесь для краткости не приводятся.

Из выражений (2.6) — (2.8) следует, что в автоколебательной системе с двумя степенями свободы и демпфером с сухим трением частота, амплитуда и фаза автоколебаний зависят от свойств двигателя. Устойчивость автоколебаний и форма колебаний также в значительной мере зависит от характеристики источника энергии. Кроме того, скорость вращения ротора приводного двигателя не является величиной постоянной.

3. Движение автоколебательной системы с n степенями свободы описывается уравнениями вида

$$\begin{aligned} m_1 \ddot{x}_1 + c_1 x_1 - c_2 (x_2 - x_1) &= f(x_2 - x_1) - f(x_1) + \\ &+ k_2 (x_2 - x_1) - k_1 x_1 + \theta_2 \frac{x_2 - x_1}{|x_2 - x_1|} - \theta_1 \frac{x_1}{|x_1|} \\ m_2 \ddot{x}_2 + c_2 (x_2 - x_1) - c_3 (x_3 - x_2) &= f(x_3 - x_2) - f(x_2 - x_1) + \\ &+ k_3 (x_3 - x_2) - k_2 (x_2 - x_1) + \theta_3 \frac{x_3 - x_2}{|x_3 - x_2|} - \theta_2 \frac{x_2 - x_1}{|x_2 - x_1|} \end{aligned} \quad (3.1)$$

$$\begin{aligned}
 m_{n-1}x_{n-1}'' + c_{n-1}(x_{n-1} - x_{n-2}) - c_n(x_n - x_{n-1}) &= f(x_n - x_{n-1}) - f(x_{n-1} - x_{n-2}) + \\
 + k_n(x_n - x_{n-1}) - k_{n-1}(x_{n-1} - x_{n-2}) + \vartheta_n \frac{x_n - x_{n-1}}{|x_n - x_{n-1}|} - \vartheta_{n-1} \frac{x_{n-1} - x_{n-2}}{|x_{n-1} - x_{n-2}|} \\
 m_n x_n'' + c_n(x_n - x_{n-1}) &= T\{(V - x_n)\} - f(x_n - x_{n-1}) - k_n(x_n - x_{n-1}) - \\
 - \vartheta_n \frac{x_n - x_{n-1}}{|x_n - x_{n-1}|} \quad I\varphi'' = L(\varphi) - H_0(\varphi) - rT\{(V - x_n)\}
 \end{aligned}$$

где функции $f(x_i - x_{i-1})$ ($i=1, 2, \dots, n$) описывают малые отклонения восстанавливающих сил от линейного закона.

Кроме предположений, аналогичных принятым в п. 1, примем следующее: в системе существует одночастотный (частоты ω_s) режим; частоты ω_s ($s=1, 2, \dots, n$) собственных колебаний системы являются простыми корнями характеристического уравнения системы (3.1), взятой без правых частей и без последнего уравнения; величины $\pm v\omega_s$ ($v=2, 3, \dots$) этому уравнению не удовлетворяют. Введя малый параметр ε путем преобразования к квазинормальным координатам, исходную систему (3.1) представим в виде

$$\begin{aligned}
 \varphi'' &= \varepsilon I^{-1}[M(\varphi) - rT\{(r\varphi - \mu_{ns}y_s)\}] \\
 y_s'' + \omega_s^2 y_s &= \varepsilon M_s^{-1}[-Z(y_s) - Z(y_s') - D_s y_s' + \mu_{ns}T\{(r\varphi - \mu_{ns}y_s)\}] \\
 M_s &= \sum_{i=1}^n m_i \mu_{is}^2, \quad D_s = \sum_{i=1}^n k_i (\mu_{is} - \mu_{(i-1)s})^2 \quad (3.2) \\
 Z(y_s) &= \sum_{i=1}^n (\mu_{is} - \mu_{(i-1)s}) f[(\mu_{is} - \mu_{(i-1)s}) y_s] \\
 Z(y_s') &= \sum_{i=1}^n \vartheta_i \frac{(\mu_{is} - \mu_{(i-1)s})^2 y_s'}{|(\mu_{is} - \mu_{(i-1)s}) y_s|}
 \end{aligned}$$

Переход от уравнений (3.1) к уравнениям (3.2) выполняется при помощи замены переменных

$$x_j = \sum_{\sigma=1}^n \mu_{j\sigma} y_\sigma, \quad \mu_{j\sigma} = \Delta_j(\omega_\sigma^2) \quad (\sigma=1, 2, \dots, n; j=1, 2, \dots, n)$$

где $\Delta_j(\omega_\sigma^2)$ — алгебраическое дополнение элемента j -го столбца и последней строки характеристического определителя системы.

Поступая аналогично п. 1, получим

$$\begin{aligned}
 M(u_s/r) - rT(u_s) - {}^3/{}_2 \alpha_3 q u_s \mu_{ns}^2 A_{1s}^2 &= 0 \quad (3.3) \\
 L_s + (3\alpha_3 q \mu_{ns}^2 u_s^2 - \alpha_1 q \mu_{ns}^2 + D_s) A_{1s} + {}^3/{}_4 \alpha_3 q \mu_{ns}^4 A_{1s}^3 &= 0 \\
 \omega_s - p_s + (M_s A_{1s})^{-1} G_s &= 0, \quad L_s = \frac{4}{\pi} \sum_{i=1}^n \vartheta_i |\mu_{is} - \mu_{(i-1)s}|
 \end{aligned}$$

$$G_s = \frac{1}{2\pi} \int_0^{2\pi} Z \left(\frac{A_{1s}}{\omega} \cos \psi \right) \cos \psi d\psi$$

Здесь L_s определено в предположении, что $A_{1s} > 0$.

Уравнения для определения частоты автоколебаний и стационарных значений скорости имеют вид

$$p_s = \omega_s + (M_s A_{1s})^{-1} G_s \quad (3.4)$$

$$(R_s^3 - 4r^2 \mu_{ns}^{-4} u_s^2 R_s \Phi_s^2)^2 - \beta_s u_s^3 (R_s^3 + 4r^2 \mu_{ns}^{-4} u_s^2 R_s \Phi_s^2 - 1/4 \beta_s u_s^3) = 0$$

$$R_s = M(u_s/r) - rT(u_s), \quad \Phi_s = q\mu_{ns}^2 (\alpha_1 - 3\alpha_3 u_s^2) - D_s, \quad \beta_s = 12\alpha_3 q L_s^2 r^2 \mu_{ns}^{-2}$$

Значение скорости u_{s*} , при котором имеются два совпадающих корня амплитудного уравнения, определяется из выражения

$$\begin{aligned} u_{s*}^2 &= (\alpha_1 q \mu_{ns}^2 - D_s) (3\alpha_3 q \mu_{ns}^2)^{-1} - 1/4 \mu_{ns}^2 \eta_s, \quad \eta_s = 3\sqrt{B_s^2/4} \\ B_s &= 4L_s (3\alpha_3 q \mu_{ns}^4)^{-1} \end{aligned} \quad (3.5)$$

Для амплитуды автоколебаний при $u_s = u_{s*}$ имеем $A_{1s*} = (\eta_s/3)^{1/2}$. Критерии устойчивости движения системы записываются в виде

$$N_s - rq (3\alpha_3 u_s^2 - \alpha_1 + 3/2 \alpha_3 \mu_{ns}^2 A_{1s}^2) - 1/2 (M_s r)^{-1} I F_s < 0$$

$$F_s [N_s - rq (3\alpha_3 u_s^2 - \alpha_1 + 3/2 \alpha_3 \mu_{ns}^2 A_{1s}^2) + 18r (\mu_{ns}^2 \alpha_3 qu_s A_{1s}^2)^2 F_s^{-1}] < 0$$

$$N_s = \frac{d}{du_s} M \left(\frac{u_s}{r} \right), \quad F_s = D_s + q\mu_{ns}^2 \left(3\alpha_3 u_s^2 - \alpha_1 + \frac{9}{4} \alpha_3 \mu_{ns}^2 A_{1s}^2 \right)$$

Улучшенное первое приближение для скорости вращения ротора двигателя имеет вид

$$\begin{aligned} \varphi &= \Omega - (I p_s)^{-1} [\mu_{ns}^{-1} (L_s + D_s A_{1s}) \cos(p_s t + \xi_s) - \\ &- 3/4 \alpha_3 qr \Omega \mu_{ns}^2 \omega_s^2 a_s^2 \sin 2(p_s t + \xi_s) + 1/12 \alpha_3 q \mu_{ns}^3 \omega_s^3 a_s^3 \cos 3(p_s t + \xi_s)] \end{aligned}$$

Из этих выражений видно существенное влияние характеристики двигателя на форму колебаний, скорость вращения ротора двигателя, амплитуду и фазу колебаний. Полученные выражения показывают, что автоколебательную систему с n степенями свободы можно рассматривать как совокупность элементарных вибраторов, взаимодействующих один с другим и источником возбуждения.

Для определения геометрического признака устойчивости ограничимся рассмотрением системы с n степенями свободы, так как первые два пункта легко выводятся из последнего.

Следуя [3], получим

$$S(u_s) = rT(u_s) + 3/2 qr \alpha_3 u_s \mu_{ns}^2 A_{1s}^2.$$

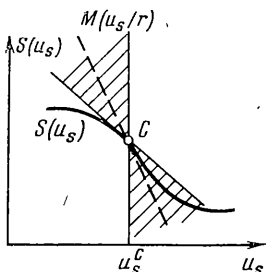
График функции $S(u_s)$ строится после вычисления стационарных значений A_{1s} и u_s по второму уравнению (3.3) и уравнению (3.5) (см. фиг. 3).

Автоколебания устойчивы, если касательная к характеристике источника энергии, проведенной в точке C , будет в пределах заштрихованного сектора.

Поступила 19 IX 1975

ЛИТЕРАТУРА

1. Кононенко В. О. Взаимодействие автоколебательной системы с источником энергии. Изв. АН СССР. ОТН. Механика и машиностроение, 1961, № 2.
2. Фролов К. В. Об автоколебаниях с учетом свойств источника энергии. Изв. АН СССР. ОТН. Механика и машиностроение, 1962, № 1.
3. Кононенко В. О. Колебательные системы с ограниченным возбуждением. М., «Наука», 1964.
4. Тонделл А. Нелинейные колебания механических систем. М., «Мир», 1973.
5. Богословов Н. Н., Митропольский Ю. А. Асимптотические методы в теории нелинейных колебаний. Изд. 4. М., Физматгиз, 1974.



Фиг. 3